

# (2+1)维广义柱 Kadomtsev-Petviashvilli 方程的 Painlevé 分析及精确解

唐晓苓 刘汉泽

(聊城大学 数学科学学院, 山东 聊城 252059)

**摘要** 将 Painlevé 分析的 WTC 方法应用到高维变系数方程中, 并以 (2+1) 维广义变系数 KP 方程为例, 得到精确解; 首先对 (2+1) 维广义柱 Kadomtsev-Petviashvilli 方程进行 Painlevé 分析, 确定 Painlevé 展开式, 其次确定共振点, 验证共振点, 进行相容性分析, 最后给出新形式的精确解及其解的图像, 在此基础上, 再利用  $G'/G$  展开法, 得到该方程新的一般形式的精确解, 并讨论特殊情况下该方程的一组特解, 扩大解的范围, 使方程的解更加完善.

**关键词** (2+1) 维广义柱 Kadomtsev-Petviashvilli 方程; Painlevé 分析;  $G'/G$  展开法; 精确解

**中图分类号** O175.2

**文献标识码** A

## 0 引言

目前, 研究非线性偏微分方程可积性的方法已经有很多种. 其中, 在 1983 年由 Weiss, Tabor 和 Carnevale(WTC)发展的 Painlevé 分析<sup>[1]</sup>法是最有效的方法之一, Painlevé 分析法通常被称作 WTC 方法, 将 WTC 方法应用到非线性偏微分方程组<sup>[2,3]</sup>中, 不仅可以得到可积和不可积模型的严格解, 还可以得到诸如 Painlevé 性质<sup>[4]</sup>, Lax 对, 双线性型, Bäcklund 变换<sup>[5-8]</sup>等性质. 在求解常系数非线性发展方程过程中, 这种方法用得比较多. 而在研究变系数非线性发展方程过程中, 这种方法的研究使用比较少见, 因此变系数的非线性发展方程在近年来受到越来越多的关注<sup>[9-12]</sup>.

下面研究被数学家和物理学家普遍感兴趣的方程之一(2+1)维广义柱 Kadomtsev- Petviashvilli(KP)方程<sup>[13,14]</sup>

$$(u_t + 6a(t)uu_x + b(t)u_{xxx})_x + c(t)u_x + d(t)u_{yy} = 0, \quad (1)$$

其中  $a(t), b(t), c(t), d(t)$  是关于  $t$  的光滑函数, 这个方程可以化为具有重要物理意义的某些特殊形式的方程, 比如: 若取  $a(t) = 1, b(t) = 1, c(t) = \frac{1}{2t}, d(t) = 0$ , 则该方程就是著名的圆柱 KdV 方程<sup>[15-17]</sup>

$$u_t + 6uu_x + u_{xxx} + \frac{1}{2t}u_x = 0, \quad (2)$$

如若取  $a(t) = 1, b(t) = 1, c(t) = \frac{1}{2t}, d(t) = \pm \frac{3}{t^2}$ , 则该方程就是著名的圆柱 KP 方程

$$(u_t + 6uu_x + u_{xxx})_x + \frac{1}{2t}u_x \pm \frac{3}{t^2}u_{yy} = 0, \quad (3)$$

数学物理中有很多模型是通过变系数偏微分方程来描述的, 因此用 Painlevé 分析法求它们的精确解具有非常重要的意义.

收稿日期: 2019-09-06

基金项目: 国家自然科学基金项目(11171041)资助

通信作者: 刘汉泽, 男, 汉族, 博士, 教授, 硕士研究生导师, 研究方向: 偏微分线性方程, E-mail: hanzeliu@126.com.

## 1 (2+1)维变系数 Kadomtsev-Petviashvili 方程的 Painlevé 分析

Painlevé 分析法最初用于常微分方程(组)的解及其研究,是由 Painlevé(法国数学家)及其学派提出的. Painlevé 分析的 WTC 方法就是将 Painlevé 的判别方法推广到非线性偏微分方程的求解中. 具体情况如下, 如果用 WTC 方法考虑一个给定的非线性偏微分方程

$$N(u(z_1, z_2, \dots, z_n)) = 0. \quad (4)$$

设该非线性偏微分方程的解具有如下展开式形式

$$u(z_1, z_2, \dots, z_n) = \varphi^\rho \sum_{j=1}^{\infty} u_j \varphi^j, \quad (5)$$

其中  $\varphi$  是一个解析函数,  $\rho$  是一个整数,  $u_j$  则通过 Painlevé 展开式代入原方程, 比较同次幂, 并另其系数等于零, 从而求得  $u_j (j = 0, 1, 2, \dots)$  的值, 寻找共振点, 检验相容性条件.

对于(2+1)维广义柱变系数 Kadomtsev-Petviashvili 方程

$$(u_t + 6a(t)uu_x + b(t)u_{xxx})_x + c(t)u_x + d(t)u_{yy} = 0, \quad (6)$$

其中取  $c(t) = 1, d(t) = 1$ . 则方程变为

$$(u_t + 6a(t)uu_x + b(t)u_{xxx})_x + u_x + u_{yy} = 0. \quad (7)$$

假设方程(7)有如下形式的解

$$u(x, y, t) = \sum_{j=0}^{\infty} u_j(x, y, t) \varphi^{j-q}(x, y, t), \quad (8)$$

其中  $q$  是正整数,  $u_j, \varphi$  为  $x, y, t$  的函数形式 ( $j = 1, 2, \dots$ ).

为了确定常数  $q$ , 我们假设

$$u \approx u_0 \varphi^{-q}. \quad (9)$$

再对  $u \approx u_0 \varphi^{-q}$  中的  $x, y, t$  求偏导, 可以得到

$$u_t = -q u_0 \varphi^{-q-1} \varphi_t, u_x = -q u_0 \varphi^{-q-1} \varphi_x, \quad (10)$$

$$u_{tx} = -q(-q-1)u_0 \varphi^{-q-2} \varphi_t \varphi_x, u_{xx} = -q(-q-1)u_0 \varphi^{-q-2} \varphi_x^2, \quad (11)$$

$$u_{yy} = -q(-q-1)(-q-2)u_0 \varphi^{-q-3} \varphi_y^2, u_x^2 = -q^2 u_0^2 \varphi^{-2q-2} \varphi_x^2, \quad (12)$$

$$u_{xxx} = -q(-q-1)(-q-2)(-q-3)u_0 \varphi^{-q-4} \varphi_x^4, \quad (13)$$

将(10)-(13)代入方程组(7)可以得到

$$\begin{aligned} & -q(-q-1)u_0 \varphi^{-q-2} \varphi_t \varphi_x + 6q(-q-1)a(t)u_0^2 \varphi^{-2q-2} \varphi_x^2 - q(-q-1)(-q-2)(-q-3)b(t)u_0 \varphi^{-q-4} \varphi_x^4 \\ & + q u_0 \varphi^{-q-1} \varphi_x - q(-q-1)(-q-2)u_0 \varphi^{-q-3} \varphi_y^2 = 0. \end{aligned} \quad (14)$$

比较  $\varphi$  的最低次幂可以推出

$$q = 2, \quad (15)$$

将(15)代入(14)可以得到

$$u_0 = -5 \frac{b(t)}{a(t)} \varphi_x^2, \quad (16)$$

将(16)代入(8)和(9)中, 可以得到  $u, u_x, u_x^2, u_t, u_{tx}, u_{yy}, u_{xxx}$  的 Painlevé 展开式

$$u = u_0 \varphi^{-2} + u_1 \varphi^{-1} + u_2 + u_3 \varphi + \dots + v_{j-3} \varphi^{j-4} + \dots + v_j \varphi^{j-2} + \dots$$

$$\begin{aligned} u_x &= u_{0x} \varphi^{-2} + u_{1x} \varphi^{-1} + u_{2x} + u_{3x} \varphi + \dots + v_{j-3,x} \varphi^{j-4} + \dots + v_{j,x} \varphi^{j-2} + \dots \\ &+ [-2u_0 \varphi^{-3} - u_1 \varphi^{-2} + u_3 + 2u_4 \varphi + \dots + (j-2)u_j \varphi^{j-3} + \dots] \varphi_x, \end{aligned}$$

$$\begin{aligned} u_t &= u_{0t} \varphi^{-2} + u_{1t} \varphi^{-1} + u_{2t} + u_{3t} \varphi + \dots + v_{j-3,t} \varphi^{j-4} + \dots + v_{j,t} \varphi^{j-2} + \dots \\ &+ [-2u_0 \varphi^{-3} - u_1 \varphi^{-2} + u_3 + 2u_4 \varphi + \dots + (j-2)u_j \varphi^{j-3} + \dots] \varphi_t, \end{aligned}$$

$$\begin{aligned} u_{tx} &= u_{0tx} \varphi^{-2} + u_{1tx} \varphi^{-1} + u_{2tx} + u_{3tx} \varphi + \dots + u_{jtx} \varphi^{j-2} + \dots \\ &+ [-2u_{0t} \varphi^{-3} - u_{1t} \varphi^{-2} + \dots + (j-2)u_{jt} \varphi^{j-3} + \dots] \varphi_{tx}, \end{aligned}$$

$$\begin{aligned}
u_x^2 &= u_{0x}^2 \varphi^4 + u_{1x}^2 \varphi^1 + u_{2x}^2 + u_{jx}^2 \varphi^{(j-2)^2} + \dots \\
&\quad + [-4u_0^2 \varphi^9 - u_1^2 \varphi^4 + u_3 + \dots + (j-2)^2 u_j^2 \varphi^{(j-3)^2} + \dots] \varphi_x^2, \\
u_{yy} &= u_{0yy} \varphi^{-2} + u_{1yy} \varphi^{-1} + u_{2yy} + \dots + u_{jyy} \varphi^{j-2} + \dots + 2[-2u_{0y} \varphi^{-3} + u_{1y} \varphi^{-2} + \dots + (j-2)u_{jy} \varphi^{j-3} + \dots] \varphi_x \\
&\quad + [6u_0 \varphi^{-4} 2u_1 \varphi^{-3} + \dots + (j-2)(j-3)u_j \varphi^{j-4} + \dots] \varphi_x^2 + [-2u_0 \varphi^{-3} + u_1 \varphi^{-2} + \dots + (j-2)u_j \varphi^{j-3} \\
&\quad + \dots] \varphi_{xx}, \\
u_{xxx} &= u_{0xxx} \varphi^{-2} + u_{1xxx} \varphi^{-1} + u_{2xxx} + \dots + u_{jxxx} \varphi^{j-2} + \dots + 4[-2u_{0xxx} \varphi^{-3} - u_{1xxx} \varphi^{-2} + \dots \\
&\quad + (j-2)u_{jxxx} \varphi^{j-3} + \dots] \varphi_x + 4[6u_{0xx} \varphi^{-4} + 2u_{1xx} \varphi^{-3} + \dots + (j-2)(j-3)u_{jxx} \varphi^{j-4} + \dots] \varphi_x^2 \\
&\quad + 4[-2u_{0xx} \varphi^{-3} + u_{1xx} \varphi^{-2} + \dots + (j-2)u_{jxx} \varphi^{j-3} + \dots] \varphi_{xx} + 4[-2u_{0x} \varphi^{-3} + u_{1x} \varphi^{-2} + \dots \\
&\quad + (j-2)u_{jx} \varphi^{j-3} + \dots] \varphi_{xxx} + [120u_0 \varphi^{-6} - 24u_1 \varphi^{-5} + \dots + (j-2)(j-3)(j-4)(j-5)u_j \varphi^{j-6} \\
&\quad + \dots] \varphi_x^4 + 4[-24u_0 \varphi^{-5} - 6u_1 \varphi^{-4} + \dots + (j-2)(j-3)(j-4)u_j \varphi^{j-5} + \dots] \varphi_x^2 \varphi_{xx} + 3[6u_{0x} \varphi^{-4} \\
&\quad + 2u_{1x} \varphi^{-3} + \dots + (j-2)(j-3)u_{jx} \varphi^{j-4} + \dots] \varphi_{xx}^2 + [6u_{0x} \varphi^{-4} + 2u_{1x} \varphi^{-3} + \dots \\
&\quad + (j-2)(j-3)u_{jx} \varphi^{j-4} + \dots] \varphi_x \varphi_{xxx} + [-2u_0 \varphi^{-3} + u_1 \varphi^{-2} + \dots + (j-2)u_j \varphi^{j-3} + \dots] \varphi_{xxx}. \quad (17)
\end{aligned}$$

为了计算共振点,将(17)代入(7),通过比较  $\varphi$  的各次幂系数可以得到

$$\varphi^{-6}: 120u_0 \varphi_x^4 = 0, \quad (18)$$

$$\varphi^{-5}: 24u_1 \varphi_x^4 - 96u_0 \varphi_x^2 \varphi_{xx} = 0, \quad (19)$$

将(16)式代入(19)式,可以计算出

$$u_1 = -20 \frac{b(t)}{a(t)} \varphi_{xx}, \quad (20)$$

$$\varphi^{-4}: 24u_{0xx} \varphi_x^2 + 2u_2 \varphi_x^4 - 24u_1 \varphi_x^2 \varphi_{xx} + 6u_{0x} \varphi_x \varphi_{xxx} = 0, \quad (21)$$

(16)式和(20)式代入(21)式,可以计算出

$$u_2 = \frac{30b(t) \varphi_{xx} \varphi_{xxx} + 120b(t) \varphi_x \varphi_{xxx} - 240 \varphi_x^2 \varphi_x a(t)}{\varphi_x^3 a(t)}, \quad (22)$$

$$\begin{aligned}
\varphi^{-3}: & -8u_{0xxx} \varphi_x + 2u_{1xx} \varphi_x^2 - 8u_{0xx} \varphi_{xx} - 8u_{0x} \varphi_{xxx} + u_3 \varphi_x^4 + 4u_2 \varphi_x^2 \varphi_{xx} + 6u_{1x} \varphi_x^2 \\
& - 2u_0 \varphi_{xxxx} + 2u_{1x} \varphi_x \varphi_{xxx} = 0, \quad (23)
\end{aligned}$$

显然,  $u_3$  可以由(16),(20)和(22)求出

$$\begin{aligned}
u_3 &= \frac{40b(t) \varphi_{xxxx}}{\varphi_x^2} - \frac{80b(t) \varphi_{xxxx}}{\varphi_x^3} - \frac{160b(t) \varphi_{xx} \varphi_{xxx}}{\varphi_x^4} - \frac{40b(t) \varphi_{xxx}}{\varphi_x^3} - 120b(t) \varphi_x \varphi_{xx} \varphi_{xxx} \\
&\quad - 480b(t) \varphi_x^2 \varphi_{xxx} + 960 \varphi_{xx}^2 \varphi_x^2 + 120b(t) \varphi_{xx}^2 \varphi_x^4 \varphi_{xxx}. \quad (24)
\end{aligned}$$

但是用类似的计算方法却无法求出  $u_4, u_5, u_6$  原因是

$$\begin{aligned}
\varphi^{-6}: & [(j-2)(j-3)(j-4)(j-5)u_{(j-2)t}] \varphi_{tx} + 6[(j-2)(j-3)(j-4)(j-5)u_{(j-3)x}] \varphi_x \\
& + [(j-2)(j-3)(j-4)(j-5)u_{(j-3)xxx}] \varphi_x + [(j-2)(j-3)(j-4)(j-5)u_{(j-2)xx}] \varphi_x^2 \\
& + [(j-2)(j-3)(j-4)(j-5)u_{(j-3)xx}] \varphi_{xx} + [(j-2)(j-3)(j-4)(j-5)u_{(j-3)x}] \varphi_{xxx} \\
& + [(j-2)(j-3)(j-4)(j-5)u_j] \varphi_x^4 + [(j-2)(j-3)(j-4)(j-5)u_{(j-1)xx}] \varphi_x^2 \varphi_{xx} \\
& + [(j-2)(j-3)(j-4)(j-5)u_j] \varphi_{xx}^4 + a(t)[(j-2)(j-3)(j-4)(j-5)(j-6)u_{(j-3)}] \varphi_x \\
& + b(t)u_{(j-4)yy} + 2b(t)[(j-2)(j-3)(j-4)(j-5)(j-6)u_{(j-3)}] \varphi_y \\
& + b(t)[(j-2)(j-3)(j-4)(j-5)u_{(j-2)}] \varphi_y^2 - 2b(t)[(j-2)(j-3)(j-4)(j-5)u_{(j-3)}] \varphi_{yy} \\
& = 0. \quad (25)
\end{aligned}$$

在上式中  $u_j$  的系数可以写成

$$(j+1)(j-4)(j-5)(j-6)u_j = F(u_0, u_1, u_2, \dots, u_{j-1}, \varphi_x, \varphi_t, \varphi_{tx}, \varphi_{yy}, \dots), \quad (26)$$

并且(26)式中的右端只与低于  $u_j$  的  $u_0, u_1, u_2, \dots, u_{j-1}$  及  $\varphi_x, \varphi_t, \varphi_{tx}, \varphi_{yy}, \dots$  有关,当  $j=-1, 4, 5, 6$  时  $u_j$  的系数为零,因此  $j=-1, 4, 5, 6$  为方程的(7)的共振点,所以  $j=-1, 4, 5, 6$  无法求出,其他的  $u_j$  可以通过(26)式求出.

若取  $u_4 = u_5 = u_6 = 0$ , 则从(26)知  $u_7 = u_8 = \dots = 0$ , 此时(8)式是有限项,即

$$u = u_0 \varphi^{-2} + u_1 \varphi^{-1} + u_2 + u_3 \varphi, \quad (27)$$

其中  $u_0, u_1, u_2, u_3$  由(16), (20), (22)和(24)确定.

## 2 (2+1)维变系数 Kadomtsev-Petviashvili 方程的精确解及其解图像

通过上述计算可知(2+1)维广义圆柱变系数 Kadomtsev-Petviashvili 方程的精确解  $u = u_0 \varphi^{-2} + u_1 \varphi^{-1} + u_2 + u_3 \varphi$ , 其中我们还要确定函数  $\varphi$ , 因为  $u_0, u_1, u_2, u_3$  由(16), (20), (22)和(24)确定, 我们假设  $\varphi$  可以表示为指数函数形式

$$\varphi = 1 + e^{kx + \eta(y,t) + \int \omega(t) dt}, \quad (28)$$

其中  $\eta(y,t)$  是关于  $y, t$  的待定函数,  $\omega(t)$  是关于  $t$  的待定函数, 将  $\varphi$  代入(16), (20), (22)和(24)中, 可以得到关于  $\eta(y,t)$  的一个特解

$$\eta(y,t) = f_1(t)y + f_2(t), \quad (29)$$

其中  $f_1(t), f_2(t)$  都是关于  $t$  的函数.

将(29)代入(28)可以得到

$$\varphi = 1 + e^{kx + f_1(t)y + f_2(t) + \int \omega(t) dt}. \quad (30)$$

再将(29)和(30)式代入(24)式中, 可以得到

$$\omega(t) = \frac{72a(t)e^{f_1(t)+f_2(t)}}{99kb(t)^2 + 44k^2}. \quad (31)$$

将(16), (20), (22), (24), (30)和(31)代入  $u = u_0 \varphi^{-2} + u_1 \varphi^{-1} + u_2 + u_3 \varphi$  中, 即得到(7)的精确解

$$u = \frac{\frac{a(t)}{b(t)} (e^{kx + f_1(t)y + f_2(t) + \int \omega(t) dt})^4 k^3}{6a(t)e^{kx + f_1(t)y + f_2(t) + \int \omega(t) dt} + 1} - \frac{k}{2} \left[ \frac{b(t)}{a(t)^2} \right], \quad (32)$$

其中  $\omega(t)$  由(31)式决定. 上述解是一个新解, 还未被其他文献描述过. 图 1(a)刻画了最终解的一个结构图, 其中  $a(t) = \sin(t), b(t) = \cos(t), f_1(t) = t, f_2(t) = t + 1, k = 0, \omega(t) = \sin(t)\cos(t)$ .

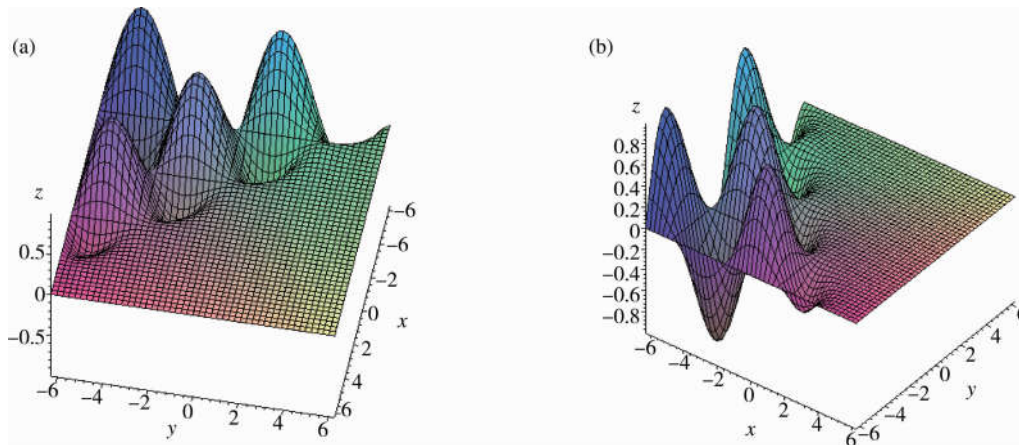


图 1 解(32)的空间结构图

$f_1(t), f_2(t)$  为光滑函数, 在这一部分当中, 我们用 Maple 将(16), (20), (22), (24), (30), (31)和(32)代入  $u = u_0 \varphi^{-2} + u_1 \varphi^{-1} + u_2 + u_3 \varphi$  中, 方程(7)成立, 其解满足方程.

## 3 总结

首先, 这篇文章对(2+1)维变系数 Kadomtsev-Petviashvili 方程进行了 Painlevé 分析, 其次, 用 Painlevé 分析的 WTC 方法得到了(2+1)维广义柱 Kadomtsev-Petviashvili 方程新的精确解, 并用 Maple 对其解的正确性进行了验证, 其中  $f_1(t), f_2(t)$  为光滑函数, 这会使得到的空间结构图更加丰富, 若取不同的参数值, 便会得到不同的图形.

## 参 考 文 献

- [1] Wess J, Tabor M, Carnevale G. The Painlevé property for partial differential equations[J]. Journal of Mathematical Physics, 1983, 24(3): 522-527.
- [2] 陈美同. Painlevé 方法构造非线性偏微分方程的精确解[D]. 锦州:渤海大学, 2015.
- [3] 庞晶, 靳玲花. (2+1)维广义圆柱 Kadomtsev-Petviashvili 方程精确解[J]. 内蒙古工业大学学报(自然科学版), 2011, 30(3): 168-174.
- [4] 蒋燕. (2+1)维变系数 Kadomtsev-Petviashvili 方程新的精确解[J]. 南昌大学学报(理科版), 2015, 39(5): 423-425+431.
- [5] 刘汉泽. 基于李对称分析的偏微分方程精确解的研究[D]. 昆明:昆明理工大学, 2009.
- [6] 张玉峰. 孤生子方程求解与可积系统[D]. 大连:大连理工大学, 2002.
- [7] 刘岳峰. 若干非线性可积系统的孤子解、呼吸子解和怪波解[D]. 太原:太原理工大学, 2016.
- [8] 朱佐农. 若干非线性偏微分方程的 Painlevé 性质和 Bäcklund 变换[J]. 东南大学学报, 1994(2): 132-136.
- [9] 张纬民. 若干非线性波方程的构造性求解研究[D]. 镇江:江苏大学, 2009.
- [10] 蔡九鲜. 变系数非线性演化方程孤子解的研究[D]. 北京:北方工业大学, 2012.
- [11] 王敏. 基于 Hirota 方法的变系数非线性发展方程孤子解的研究[D]. 北京:北方工业大学, 2013.
- [12] 牛晓星. 三个耦合系统的达布变换和贝克隆变换及非线性叠加公式[D]. 北京:中国矿业大学, 2017.
- [13] 范恩贵. 齐次平衡法、Weiss-Tabor-Carnevale 法及 Clarkson-Kruskal 约化法之间的联系[J]. 物理学报, 2000(8): 1409-1412.
- [14] 袁萍, 邓畏平. Newell 方程的 Backlund 变换和新精确解[J]. 吉首大学学报(自然科学版), 2017, 38(2): 1-3+41.
- [15] 张国栋, 秦青锋. 齐次平衡法在微分方程中的应用[J]. 中国新技术新产品, 2012(21): 243-244.
- [16] 王岗伟, 刘希强, 张颖元. 变系数 mKdV 方程的精确解[J]. 井冈山大学学报(自然科学版), 2012, 33(5): 1-5.
- [17] 牛艳霞, 李二强, 张金良. 利用  $G'/G$ -展开法求解 2+1 维破裂孤子方程组[J]. 河南科技大学学报(自然科学版), 2008, 29(5): 73-76.

# Painlevé Analysis and Exact Solutions to the (2+1) -Dimensional Kadomtsev-Petviashvili Equations

TANG Xiao-ling   LIU Han-ze

(School of Mathematical Sciences, Liaocheng University, Liaocheng 252059, China)

**Abstract** This article with Painlevé analysis of the WTC method is first applied to the high dimensional equation with variable coefficients, and the (2+1) dimensional Kadomtsev-Petviashvili equation as an example, For the (2+1) dimensional generalized column Kadomtsev-Petviashvili equation Painlevé analysis, determine the Painlevé expansion, determine the resonance point, verify the resonance point, Secondly compatibility analysis, get the equation of Painlevé properties, And give a picture of the exact solution of the new form and its solution, On this basis, the  $G'/G$ -expansion method is used to obtain the accurate solution of the new general form of the equation, and to discuss a group of special solutions of the equation in special cases to expand the range of solutions and improve the solution of the equation.

**Key words** (2+1)-dimensional Kadomtsev-Petviashvili equations; Painlevé analysis;  $G'/G$ -expansion method; the exact solution